

ского семинара «Плазменная электроника». Россия. 2009. С.16-21.

2. Арзамасов Б.Н. Ионная химико-термическая обработка сплавов. М.: Изд. МГТУ им Баумана, 1999. – 400 с.

3. Hagelaar G.J.M., Pitchford L.C./Plasma Sources Sci. Technol. 2005. – V. 14. – PP. 722–733.

4. BOLSIG+ Electron Boltzmann equation solver: <http://www.bolsig.laplace.univ-tlse.fr/>

## ИССЛЕДОВАНИЕ СЕЛЕКЦИИ МОД В РЕЗОНАНСНОЙ СИСТЕМЕ КОАКСИАЛЬНОГО ВИРКАТОРА

Нгуен М.Х.

Томский политехнический университет  
 634050, Россия, г. Томск, пр-т Ленина, 30  
 E-mail: hungnm.k52tnvlkt@gmail.com

### Введение

Коаксиальный виркатор представляет интерес, прежде всего с точки зрения малых весогабаритных характеристик, простоты конструкции, отсутствия внешнего фокусирующего магнитного поля. На возможность генерации излучения в коаксиальном виркаторе с радиально сходящимся пучком было показано в работах [1-4]. В работе [5] были приведены результаты исследований влияния геометрии системы и параметров пучка на формирование виртуального катода процесса генерации в коаксиальном виркаторе. Для более эффективного взаимодействия электронного пучка с полем резонансной системы необходимо определить модовый состав излучения, выявить условия и возможности одномодовой генерации в виркаторе, установить зависимости мощности излучения от условий генерации.

В данной работе приведены результаты численных исследований влияния геометрии электродинамической системы виркатора и диафрагмы на селекцию мод, передачу энергии электромагнитных волн и мощность излучения.

### Численное моделирование

Вначале рассмотрим гладкую резонансную систему (рис. 1 а), формируемую анодом-сеткой и соединенную с волноводом и рупором. Диафрагма выполнена в виде кольца (с внутренним диаметром 8 см). Если диафрагма без перемычки, то обе вырожденные волны  $TE_{11}$  имеют одинаковые коэффициенты передачи энергии  $S$ .

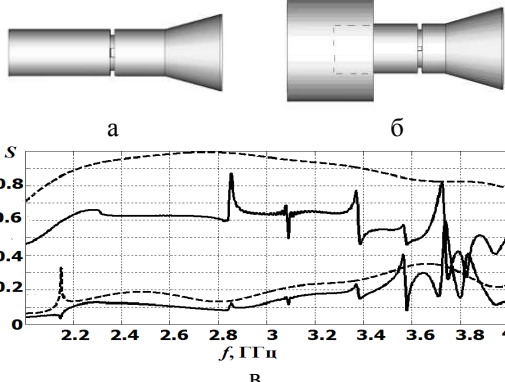


Рис. 1. Расчетные электродинамические модели (а, б); частотная зависимость коэффициента передачи

энергии  $S(f)$  волн  $TE_{11}$  (в) в системе (а) – сплошные линии, в системе (б) – пунктирные линии

Наличие перемычки у диафрагмы существенно уменьшает коэффициент прохождения одной из двух вырожденных волн  $TE_{11}$  (рис. 1в, пунктирные линии), силовые линии электрического поля которой параллельны перемычке. На рисунке 2 а показана частотная зависимость коэффициента  $S$  волны  $TM_{01}$ , пунктирные линии относятся к высшим модам ( $TM_{11}$ ,  $TM_{21}$ ), которые возникают в результате рассеяния волны  $TM_{01}$  на диафрагме. Численные эксперименты показали, что в гладкой резонансной системе (рис. 1 а) местоположение диафрагмы несущественно влияет на значение коэффициентов передачи энергии волн  $TM_{01}$  и  $TE_{11}$ , в отличие от системы с широким волноводом (рис. 1 б).

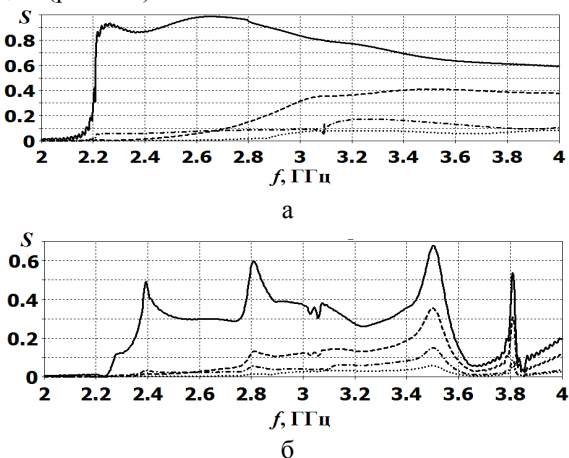


Рис. 2. Частотная зависимость коэффициента передачи энергии  $S(f)$  волны  $TM_{01}$  в разных электродинамических системах: а – рис. 1 а, б – рис. 1 б при  $Zd = 30$  см

Расчеты показали, что коэффициент передачи энергии в таких системах существенно зависит от местоположения диафрагмы  $Zd$  и от частоты передаваемой волны  $f$ . Коэффициенты передачи энергии волн  $TE_{11}$  уменьшаются (рис. 1 в), но при этом практически не зависят от местоположения диафрагмы, как и в гладкой системе (рис. 1 а).

На рисунке 2 б показана частотная зависимость коэффициента  $S(f)$  волны  $TM_{01}$  при  $Zd=30$  см. Как

видно из рисунка 2 б, зависимость  $S(f)$  имеет резонансный характер, причем величины максимумов, соответствующие частотам 2,4 и 2,8 ГГц меняются незначительно с изменением  $Zd$ . На рисунке 3 представлена зависимость коэффициента  $S$  от местоположения диафрагмы для частот 3,2–3,4 ГГц. Эта зависимость имеет периодический характер от длины резонансной области  $Zd$ .

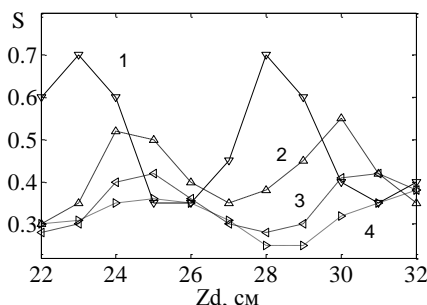


Рис. 3. Зависимость коэффициента прохождения энергии волны  $\text{TM}_{01}$  от координаты местоположения диафрагмы для разных частот: 1 –  $f=3,5$ ; 2 – 3,4; 3 – 3,3; 4 – 3,2 ГГц

Область между левой стенкой триода и диафрагмой является резонатором, поэтому представляет интерес рассмотреть влияние местоположение диафрагмы на собственные частоты резонансной системы триода. Численно решалось 3-х мерное волновое уравнение. Значения  $Zd$  и соответствующие им собственные частоты приведены в таблице 1, из которой видно, что собственная частота волны  $\text{TM}_{01}$  имеет периодическую зависимость при изменении координаты  $Zd$ , изменяясь в интервале частот 3,42...3,26 ГГц. На рис.4 приведена структура волны  $\text{TM}_{01}$  при разном местоположении диафрагмы:  $Zd=24, 30$  и  $33$  см, соответствующие собственные частоты: 3,42; 3,41 и 3,27 ГГц. Из рис. 4 видно, что при изменении  $Zd$  пучности волны  $\text{TM}_{01}$  в области катода меняют местоположение в интервале  $0..\Lambda/2$ ,  $\Lambda$  – длина стоячей волны, что сравнимо с шириной эмиттера и оказывает влияние на взаимодействие электронного пучка с волной.

Таблица 1. Зависимость собственной частоты волны  $\text{TM}_{01}$  от местоположения диафрагмы

$Zd$ , см	24	27	30	33	36
$f$ , ГГц	3,42	3,26	3,41	3,27	3,4

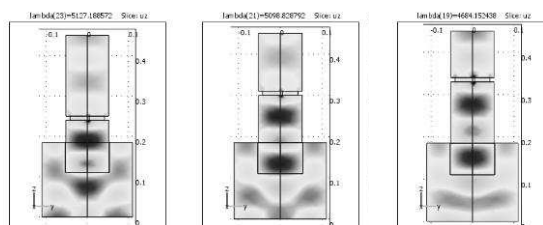


Рис. 4. Структура волны  $\text{TM}_{01}$  при разном положении диафрагмы

Исследование электродинамических характеристик триода показало, что на резонансные характеристики волны  $\text{TM}_{01}$  существенное влияние оказывает местоположение диафрагмы при неоднородной геометрии передающей линии. Поэтому в 2-х мерном коде (КАРАТ) исследовалась генерация излучения отражательного триода при разном положении диафрагмы (в данном случае без перемычки);  $Zd = 26,5 \dots 36$  см. Расчеты показали, что имеет место резонансная зависимость мощности излучения от местоположения диафрагмы, максимумы получены при  $Zd = 28$  и 32,5 см. На рис. 5 представлены спектры частот мощности излучения для  $Zd=28$  и 31 см, мощность излучения, соответствующая этим спектрам, 300 и 200 МВт. Уширение спектра (рис. 5 б) обусловлено взаимодействием электронного пучка с высшими модами резонансной системы.

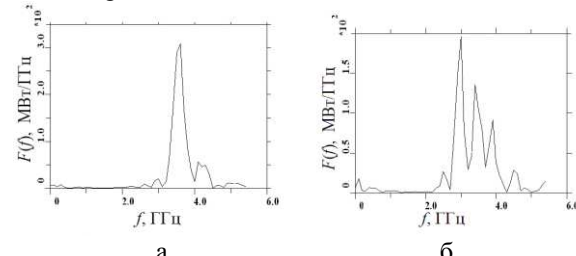


Рис. 5. Спектр частот мощности излучения коаксиального триода при положении диафрагмы  $Zd=28$  см (а) и  $Zd=31$  см (б)

### Заключение

Численные исследования показали, что в коаксиальном виркаторе селекцию мод можно осуществлять с помощью диафрагмы. Основные моды виркатора – это  $\text{TM}_{01}$  и  $\text{TE}_{11}$ . При азимутальной симметрии электронного пучка генерация происходит на волне типа  $\text{TM}_{01}$ , при азимутальной несимметрии пучка на волне  $\text{TE}_{11}$ .

Показано, что в электродинамической системе виркатора коэффициент передачи энергии волны  $\text{TM}_{01}$  и мощность излучения имеют периодическую зависимость от положения диафрагмы  $Zd$  и резонансный характер зависимостей от частоты генерации. При изменении  $Zd$  собственная частота резонансной системы меняется в пределах 3,42...3,26 ГГц.

Автор выражает благодарность Ковалю Т.В. за помощь в проведении исследований.

### Литература

- Диденко А.Н., Григорьев В.П., Жерлицын А.Г. Генерация электромагнитных колебаний в системах с виртуальным катодом // Плазменная электроника. Сб. научных трудов под ред. В.И.Курилко. – Киев. – Наукова думка. – 1989. – С. 112-131.
- Жерлицын А.Г. Генерация СВЧ излучения в триоде с виртуальным катодом коаксиально-

го типа // Письма в ЖТФ. – 1990. – Т.16. - № 22. – С.78-80.

3. Григорьев В.П. Электромагнитное излучение в коаксиальном триоде с виртуальным катодом // Журнал технической физики.– 1994. – Т.64. – №7. – С. 122-129.

4. Jiang W., Woolverton K., Dickens J., Kristiansen M. High Power Microwave Generation by a Coaxial Virtual Cathode Oscillator // IEEE transac-

tion on plasma science. – 1999. – v.27. – N 5. – P.1538-1542.

5. Tuan N.M., Koval T.V., Melnikov G.V., Zherlitsyn A.G. The Research of the Coaxial Vircator with a Symmetric Converging Electron Beam // Proc. of 16th International Symposium of Hidh Current Electronics. Tomsk. Russia, September 19-24, 2010. – P. 497-500

## РАЗРАБОТКА МЕТОДОВ ПРОСЛЕЖИВАНИЯ СЕЙСМИЧЕСКИХ СИГНАЛОВ ПО ФАЗОЧАСТОТНЫМ ХАРАКТЕРИСТИКАМ (ФЧХ)

Нгуен Суан Хунг

Научные руководители: Кочегуров А.И., Иванченков В.П.

Томский политехнический университет  
 634050, Россия, г. Томск, пр-т Ленина, 30

E-mail: nxh1216@gmail.com

### Введение

Одной из основных задач прослеживания сейсмических волн является обнаружение фиксированных волн. Для решения этой задачи в сейсморазведке предложен ряд методов, использующих в качестве информативных признаков, преимущественно энергетические характеристики сигналов. В тоже время, в сложных сейсмогеологических условиях информативность фазочастотных характеристик (ФЧХ) может оказаться значительно выше по сравнению с энергетическими. В фазу сигнала, точнее в сложный закон изменения фазового спектра, может быть заложена информация, позволяющая наиболее эффективно выделять сигналы из помех и производить оценку их параметров.

В этой связи перейдем к разработке методов обнаружения сигналов по информации, извлекаемой из ФЧХ регистрируемых волн.

### Фазочастотное обнаружение сейсмических сигналов

Предположим, что при конкретном значении 1 имеется участок сейсмической трассы  $x(k)$ , который может содержать только помеху  $\xi(t)$  или аддитивную смесь сигнала  $S(t)$  и помехи  $\xi(t)$ .

На основании моделей сейсмограмм и отдельных сейсмоимпульсов примем:  $S(t) = S_d(T)$ , где  $S_d(T)$  - множество сигналов ограниченной длительности;  $\xi(t)$  - стационарная гауссова помеха, имеющая корреляционную функцию  $B_\xi^2 R_\xi(\tau)$ .

Задача состоит в том, чтобы построить процедуру обнаружения сигналов, когда оптимальной обработке подвергается только ФЧХ анализируемого участка сейсмоподъемки.

### Оптимальное фазочастотное обнаружение сейсмических сигналов

Будем считать, что условия Дирихле выполняются. Тогда представим функции  $\xi(t)$ ,  $S(t)$  и  $x(t) = S(t) + \xi(t)$  на интервале времени  $T$  в частотной области  $\Omega$  с помощью преобразования Фурье:

$$\begin{aligned} F\{\xi(t)\} &= \int_{-\frac{T}{2}}^{\frac{T}{2}} \xi(t) \cdot e^{-j\omega t} dt; \\ F\{S(t)\} &= \int_{-\frac{T}{2}}^{\frac{T}{2}} S(t) \cdot e^{-j\omega t} dt; \\ F\{x(t)\} &= \int_{-\frac{T}{2}}^{\frac{T}{2}} \xi(t) \cdot e^{-j\omega t} dt, \quad \omega \in \Omega \end{aligned} \quad (1)$$

где  $F$  – символ преобразования Фурье;  $\Omega$  – область частот, где сосредоточена основная энергия сигнала.

Введем следующие обозначения:  
 $\varphi_s(\omega) = \arctg \frac{\text{Im}[F\{S(t)\}]}{\text{Re}[F\{S(t)\}]} + 2\pi n$  – Фазочастотная характеристика (ФЧХ) сигнала;  
 $\varphi_\xi(\omega) = \arctg \frac{\text{Im}[F\{\xi(t)\}]}{\text{Re}[F\{\xi(t)\}]}$  + 2 $\pi n$  – ФЧХ помехи;  
 $\varphi_x(\omega) = \arctg \frac{\text{Im}[F\{x(t)\}]}{\text{Re}[F\{x(t)\}]}$  + 2 $\pi n$  – ФЧХ смеси сигнала с помехой;

Теперь, с учетом имеющейся априорной информации, для построения оптимального фазочастотного критерия обнаружения сигнала, используем метод максимального правдоподобия, для реализации которого необходимо сформировать следующее отношение:

$$L(\Delta\varphi) = \frac{W_m(\Delta\varphi(\omega_1), \Delta\varphi(\omega_2), \dots, \Delta\varphi(\omega_m) | H_1)}{W_m(\varphi_\xi(\omega_1), \varphi_\xi(\omega_2), \dots, \varphi_\xi(\omega_m) | H_0)} \quad (2)$$

где  $W_m(\Delta\varphi(\omega_1), \Delta\varphi(\omega_2), \dots, \Delta\varphi(\omega_m) | H_1)$  –  $m$ -мерная плотность вероятности отклонения ФЧХ смеси от ФЧХ сигнала в предположении, что верна гипотеза  $H_1$  (сигнал есть);  
 $W_m(\varphi_\xi(\omega_1), \varphi_\xi(\omega_2), \dots, \varphi_\xi(\omega_m) | H_0)$  –  $m$ -мерная